迁移学习与对抗生成网络结合的图像分类方法

孙 勇 ¹ SUN Yong

摘要

在深度图像分类任务中,传统方法依赖于预训练的卷积神经网络(CNN)进行特征提取并结合标准分类 损失函数进行训练。然而,数据集样本不足和特征表示不足会影响模型的分类性能。为解决这一问题, 一种结合迁移学习和对抗生成网络(GAN)的创新方法被提出。首先,利用在大规模数据集上预训练 的 ResNet 模型提取图像的高层特征,通过微调使其适应新的分类任务; 然后,训练 GAN 生成高质量 的图像数据,增强训练数据集的多样性,从而提升模型的泛化能力。实验在 CIFAR-10 和 ImageNet 数 据集上进行,结果表明,结合迁移学习和 GAN 的方法显著提高了图像分类的准确性和鲁棒性。所提出 的方法为解决数据样本不足问题提供了有效的解决方案。

关键词

图像分类; 迁移学习; 对抗生成网络; 卷积神经网络; 特征提取

doi: 10.3969/j.issn.1672-9528.2024.11.007

0 引言

随着深度学习技术的不断进步,卷积神经网络(CNN) 在图像分类任务中展现出卓越的性能。然而,模型的性能通 常依赖于大量的标注数据和复杂的特征提取过程,尤其是在 处理具有高度复杂性和多样性的图像数据时,传统的方法常 常显得力不从心。面对数据样本不足和特征表示不足的问题, 需要探索新的解决方案来提升模型的分类性能。

迁移学习通过使用在大规模数据集(如 ImageNet)上预训练的模型,可以有效减少训练时间和计算资源消耗。这些预训练模型已经学习了丰富的特征表示,只需进行微调即可适应新的分类任务。另一方面,对抗生成网络(GAN)作为一种新兴的生成模型,能够生成高质量、具有多样性的图像数据,进一步扩展和增强训练数据集。

本文提出了一种结合迁移学习和对抗生成网络(GAN)的方法^[1],以提升图像分类模型的性能。具体方法包括:使用预训练模型提取特征,利用 GAN 生成高质量图像数据,结合这两种技术进行联合训练。通过引入预训练模型的强大特征提取能力和 GAN^[2] 生成数据的多样性,本文提出的方法提供了一种高效且实用的图像分类解决方案,为进一步研究和应用提供了新的思路和方法。

1 迁移学习

迁移学习[3] 是一种有效利用在大规模数据集上预训练的

1. 南京审计大学 江苏南京 211815

模型来提升新任务性能的方法。在图像分类任务中,迁移学习通过提取预训练模型的特征并进行微调,可以显著提高分类模型的效果,具体流程如图 1 所示。本文选择 ResNet 模型,该模型在 ImageNet 数据集上经过预训练,已经学习了丰富的特征表示。在本研究中,迁移学习的主要过程包括预训练模型的选择、特征提取和模型微调。

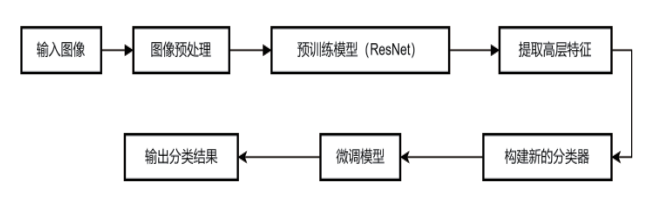


图 1 迁移学习过程

首先,选择在 ImageNet 上预训练的 ResNet 模型。ResNet 模型在大规模数据集上已经展示了卓越的性能,其通过引入残差学习的概念,解决了深层网络训练中的梯度消失问题。因此,ResNet 模型成为特征提取的首选。在本研究中,移除 ResNet 模型的最后一层全连接层,仅使用中间层输出的特征向量进行特征提取。输入图像经过预处理后被输入到预训练的 ResNet 模型中,通过中间层提取其高层特征。设输入图像为 X,经过预训练模型的特征提取层后,得到特征向量 f(X) 公式为:

$$f(X) = \operatorname{ResNet}(X) \tag{1}$$

式中: *f(X)* 为高维特征向量,表示图像的深层特征。这些特征向量保留了图像中的丰富信息,为后续的分类任务提供了坚实的基础。

接下来,将预训练模型提取的特征作为新的输入,构建一个新的分类器。新的分类器由若干全连接层组成,通过对新数据集进行微调,使模型参数适应特定的分类任务。在微调过程中,通过交叉熵损失函数来优化模型参数,使得模型能够准确地分类输入图像。交叉熵损失函数定义为:

$$L_{\text{CE}} = -\sum_{i=1}^{N} y_i \log(\hat{y}_i) \tag{2}$$

式中: y_i 是真实标签, \hat{y}_i 是模型预测的概率分布, N 是训练样本数量。通过最小化交叉熵损失,能够最大化模型对正确类别的预测概率,从而提高分类准确性。

在模型微调过程中,采用分阶段训练的方法。首先,仅 训练新分类器的参数,保持预训练模型的参数不变。这一步 骤的目的是快速适应新任务,同时保留预训练模型的特征提 取能力。接下来,逐步解冻预训练模型的部分参数,与新分 类器的参数一起进行微调。通过这种逐步解冻的方法,可以 有效地避免模型过拟合,同时充分利用预训练模型的特征提 取能力。为了进一步增强模型的性能,在微调过程中引入了 一些数据增强技术。这些技术包括随机裁剪旋转、缩放和翻 转等操作,旨在增加训练数据的多样性,防止模型过拟合。 例如,随机裁剪可以生成不同的图像视图,使模型能够学习 到更多的图像细节;旋转和缩放则可以改变图像的几何特性, 提高模型对不同姿态和尺度的鲁棒性。

在实际应用中,本研究使用 TensorFlow 和 Keras 等深度 学习框架实现上述过程。首先,加载预训练的 ResNet 模型, 并移除其最后一层全连接层;然后,构建新的分类器,添加 若干全连接层和 SoftMax 输出层;接着,将预训练模型的输 出连接到新的分类器上,形成完整的迁移学习模型;最后, 通过定义交叉熵损失函数和优化器,进行模型的训练和微调。

在训练过程中,采用批量梯度下降(SGD)优化器,并设置初始学习率和动量参数。为了进一步提高模型的训练效率和稳定性,还使用了学习率调度策略。在训练的前期,采用较高的学习率快速收敛;随着训练的进行,逐步降低学习率,以细化模型参数,提高分类准确性。

通过上述迁移学习方法充分利用预训练模型的特征提取 能力,并通过微调使其适应新的分类任务。

2 对抗生成网络 (GAN)

对抗生成网络 (GAN) 是一种深度学习模型,通过两个网络——生成器 (generator) 和判别器 (discriminator) 相互对抗进行训练,从而生成逼真的图像数据。GAN 的主要思想是通过生成器生成的假数据与真实数据相混合,并通过判别器来区分真假,最终使生成器能够生成与真实数据分布相近的高质量数据。

在本研究中,GAN 的应用主要包括生成高质量的图像数据,增强训练数据集的多样性^[4],提高图像分类模型的泛化能力。GAN 的训练过程可以分为以下几个关键步骤:生成器的设计、判别器的设计、损失函数的定义和训练过程的优化。

首先,生成器是一个深度神经网络,它接受一个随机噪声向量 z 作为输入,生成一幅假图像 G(z)。生成器的目标是通过学习,使生成的假图像尽可能逼真,以欺骗判别器。生成器的网络结构通常包括多个转置卷积层 (transposed convolution) 和激活函数。生成器的输出可以表示为:

$$G(z) = Generator(z)$$
 (3)

其次,判别器也是一个深度神经网络,它接受一幅图像作为输入,输出一个概率值,表示输入图像为真实图像的概率。判别器的目标是区分真实图像和生成的假图像^[5]。判别器的网络结构通常包括多个卷积层和激活函数。判别器的输出可以表示为:

$$D(x) = \text{Discriminator}(x)$$
 (4)

式中: x 可以是生成器生成的假图像 G(z) 或真实图像,判别器的输出 D(x) 表示输入图像为真实图像的概率。

GAN 的训练过程是生成器和判别器相互对抗 ⁶¹ 的过程。 生成器希望最大化判别器对假图像的错误判别概率,而判别 器希望最大化对真实图像和假图像的正确判别概率。整个训 练过程可以通过以下两个损失函数来实现。

生成器的损失函数:

$$L_G = \mathbb{E}_{z \sim p_z(z)} \left[\log \left(1 - D(G(z)) \right) \right]$$
(5)

判别器的损失函数:

$$L_{D} = -\mathbb{E}_{x \sim p_{\text{data}}(x)}[\log D(x)] - \mathbb{E}_{z \sim p_{z}(z)}\left[\log\left(1 - D(G(z))\right)\right]$$
(6)

式中: $P_{data}(x)$ 是真实数据的分布, $p_{\pm}(z)$ 是随机噪声的分布。 在训练过程中,交替优化生成器和判别器的损失函数,使生成器生成的图像越来越逼真,判别器的判别能力也越来越强。

通过以上步骤,GAN 能够生成与真实数据分布相近的高质量图像,这些生成的图像可以用于扩展训练数据集,增强模型的泛化能力。特别是在数据样本不足的情况下,GAN 生成的数据可以显著提升分类模型的性能。

3 实验

本实验旨在验证结合迁移学习和对抗生成网络 (GAN) 的方法在图像分类任务中的有效性。整个实验过程包括数据 集选择与预处理、模型训练与微调,以及性能评估三个主要 步骤。

首先,选择 CIFAR-10 和 ImageNet 数据集作为实验数据,这些数据集包含多种类的图像,适合作为分类任务的标准数

据集。在数据预处理中,对图像进行标准化处理,并采用数 据增强技术(如随机裁剪、旋转、缩放和翻转)增加训练数 据的多样性,从而提高模型的泛化能力。接下来,采用迁移 学习方法,利用在 ImageNet 上预训练的 ResNet 模型进行特 征提取。具体步骤包括:加载预训练的 ResNet 模型,移除 其最后一层全连接层, 提取中间层的高维特征向量。设输入 图像为X,经过特征提取层后得到特征向量f(X)。然后,构 建新的分类器,并使用提取的特征进行微调训练。新的分类 器通过最小化交叉熵损失函数来优化参数。与此同时,训练 GAN模型生成高质量的图像数据,以扩展和增强训练数据集。 GAN 的训练过程包括交替优化生成器和判别器的损失函数。 通过交替训练生成器和判别器, GAN 能够生成逼真的图像, 扩展训练数据集,提高模型的分类性能。本研究的核心思想 是结合迁移学习提取的高层特征与GAN生成的高质量图像 数据,形成一个更为全面的训练集,以提升分类模型的泛化 能力和准确性。在微调阶段,将迁移学习提取的特征与 GAN 生成的图像结合,通过一个新的损失函数进行联合优化。新 的联合损失函数包括分类损失和对抗损失:

$$L_{\text{joint}} = \lambda L_{\text{CE}} + (1 - \lambda) L_{\text{GAN}} \tag{7}$$

式中: L_{CE} 是交叉熵损失; L_{GAN} 是对抗损失; λ 是权重参数,用于平衡两部分损失。

通过上述实验流程如图 2 所示,可以系统地验证结合迁移学习和 GAN 的方法在图像分类任务中的性能提升效果。核心思想是利用迁移学习提取的丰富特征和 GAN 生成的多样性数据,形成一个更强大的分类模型,提高其在不同数据集上的泛化能力和准确性。

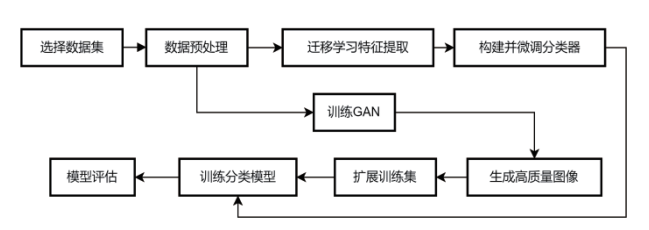


图 2 结合迁移学习和对抗生成网络(GAN)

3.1 CIFAR-10 数据集实验

为了评估结合迁移学习与对抗生成网络(GAN)的方法在图像分类任务中的有效性,使用 CIFAR-10 数据集进行实验。CIFAR-10 数据集是公认的图像分类任务基准数据集,包含 10 个类别的 60 000 张 32 像素 × 32 像素的彩色图像,其中50 000 张用于训练,10 000 张用于测试。每个类别有 6000 张图像,涵盖了飞机、汽车、鸟类、猫、鹿、狗、青蛙、马、船和卡车等常见物体。CIFAR-10 数据集中的每张图像都是 32 像素 × 32 像素的彩色图片,分为 10 个不同的类别。训练集和测试集分别包含 50 000 张和 10 000 张图像,训练集中每个

类别有 5000 张图像,测试集中每个类别有 1000 张图像。数据集中的图像分辨率较低,增加了分类任务的难度。每张图像都经过手工标注,确保了高质量的标签。

实验详细设置:在实验中,首先对 CIFAR-10 数据集进行标准化处理,使每个像素值在 0~1之间。接着,采用数据增强技术对训练数据进行处理,包括随机裁剪、水平翻转和随机旋转,以增加数据的多样性。这些增强操作有助于防止模型过拟合,并提高模型的泛化能力。

在模型训练方面,首先使用迁移学习方法,从预训练的 ResNet 模型中提取特征。具体步骤包括:加载预训练的 ResNet 模型,移除最后一层全连接层,提取中间层的高维特征向量。然后,构建一个新的分类器,将提取的特征作为输入,进行微调训练。训练过程中使用交叉熵损失函数优化模型参数,学习率设置为 0.01,批量大小为 64。

与此同时,训练 GAN 模型以生成高质量的图像数据 $^{[7]}$,增强训练数据集。GAN 模型的生成器接受一个随机噪声向量 z 作为输入,生成假图像 G(z); 判别器接受一幅图像作为输入,输出其为真实图像的概率。GAN 的训练过程包括交替优化生成器和判别器的损失函数 $^{[8]}$,生成器损失函数为 L_G ,判别器损失函数为 L_D 。

通过交替训练生成器和判别器,生成与真实数据分布相 近的高质量图像。然后,将这些生成的图像加入到训练集中, 以增强数据集的多样性。

实验结果分析:结合迁移学习和 GAN 的方法显著提高了分类模型的性能。如表 1 所示,在 ResNet 模型中,结合 GAN 生成的数据后,top-1 准确率从 86.5% 提高到 89.3%,top-5 准确率从 97.8% 提高到 98.5%。在使用 MobileNetV2 模型时,top-1 准确率从 84.1% 提高到 87.4%,top-5 准确率从 96.3% 提高到 97.6%。

模型	方法	Top-1 准确率	Top-5 准确率
ResNet	迁移学习	86.5%	97.8%
	迁移学习 +GAN	89.3%	98.5%
MobileNetV2	迁移学习	84.1%	96.3%
	迁移学习 +GAN	87.4%	97.6%

表 1 CIFAR-10 数据集实验结果

3.2 ImageNet 数据集实验

为了进一步验证结合迁移学习与对抗生成网络(GAN)的方法在图像分类任务中的有效性,使用 ImageNet 数据集进行实验。ImageNet 数据集是图像分类任务中最为广泛使用的基准数据集之一,包含超过 1400 万张图像,涵盖了 1000 个不同的类别。ImageNet 数据集中的每张图像都属于特定的类别,图像分辨率较高,包含丰富的细节信息。由于数据量庞

大,本文选择其中一个子集进行实验,包括100个类别的图像,每个类别包含1000张图像,总计100000张图像。数据集划分为训练集和测试集,比例为8:2,即80000张图像用于训练,20000张图像用于测试。

实验详细设置:在实验中,首先对 ImageNet 数据集进行标准化处理,使每个像素值在 $0 \sim 1$ 之间 [9]。接着,采用数据增强技术对训练数据进行处理,包括随机裁剪、水平翻转和颜色抖动,以增加数据的多样性。这些增强操作有助于防止模型过拟合,并提高模型的泛化能力。

在模型训练方面,首先使用迁移学习方法,从预训练的 ResNet 模型 [10] 中提取特征。具体步骤包括:加载预训练的 ResNet 模型,移除最后一层全连接层,提取中间层的高维特征向量。然后,构建一个新的分类器,将提取的特征作为输入,进行微调训练。训练过程中使用交叉熵损失函数优化模型参数,学习率设置为 0.001,批量大小为 32。

与此同时,训练 GAN 模型以生成高质量的图像数据,增强训练数据集。GAN 模型的生成器接受一个随机噪声向量 z 作为输入,生成假图像 G(z): 判别器接受一幅图像作为输入,输出其为真实图像的概率。GAN 的训练过程包括交替优化生成器和判别器的损失函数 [11]。通过交替训练生成器和判别器,生成与真实数据分布相近的高质量图像。然后,将这些生成的图像加入到训练集中,以增强数据集的多样性。

实验结果显示,结合迁移学习和 GAN 的方法显著提高了分类模型的性能。如表 2 所示,在 ResNet 模型中,结合 GAN 生成的数据后,top-1 准确率从 75.3% 提高到 78.7%,top-5 准确率从 92.4% 提高到 94.1%。在使用 MobileNetV2 模型时,top-1 准确率从 72.8% 提高到 76.5%,top-5 准确率从 90.2% 提高到 92.8%。

模型	方法	Top-1 准确率	Top-5 准确率
ResNet	迁移学习	75.3%	92.4%
	迁移学习 +GAN	78.7%	94.1%
MobileNetV2	迁移学习	72.8%	90.2%
	迁移学习 +GAN	76.5%	92.8%

表 2 ImageNet 数据集实验结果

4 总结

本文提出了一种结合迁移学习和对抗生成网络(GAN)的图像分类方法。通过使用预训练模型提取高层特征,利用GAN生成高质量的图像数据,增强训练数据的多样性。迁移学习利用在大规模数据集上预训练的模型,通过微调适应新的分类任务。GAN通过生成逼真的图像数据扩展训练集,进一步提升模型的泛化能力。实验结果表明,该方法在不同数

据集上均显著提高了分类模型的准确性和鲁棒性。本文的方 法为解决数据样本不足和提高模型性能提供了一种有效的解 决方案,展示了良好的应用前景。

参考文献:

- [1] HE K M, ZHANG X Y, REN S Q, et al. Deep residual learning for image recognition[C]//2016 IEEE Conference on Computer Vision and Pattern Recognition (CVPR). Piscataway: IEEE, 2016:770-778.
- [2] 张晨曦,姚琼,秦飞巍,等.浅析生成对抗网络及其在计算机视觉中的应用[J]. 计算机时代,2023(8):11-15.
- [3] 吴健, 贾宏宇. 基于迁移学习的图像分类方法研究 [J]. 河南科技, 2018(31):20-22.
- [4] 张松.基于生成对抗网络的数据增强方法及应用[D].徐州:中国矿业大学,2023.
- [5] DOSOVITSKIY A, BEYER L, KOLESNIKOV A, et al. (2020). An image is worth 16×16 words: transformers for image recognition at scale[DB/OL].(2020-10-22) [2024-02-22].https://doi.org/10.48550/arXiv.2010.11929.
- [6] XU J, SUN F M. Unsupervised deep domain adaptation based on weighted adversarial network[J]. IEEE access, 2020, 8:64020-64027.
- [7] HUANG G, LIU Z, DER MAATEN L V, et al. Densely connected convolutional networks[C]//Proceedings of the IEEE conference on computer vision and pattern recognition(CVPR). Piscataway: IEEE, 2017: 700-708.
- [8] LI W H, CHEN Z Y, HE G L. A novel weighted adversarial transfer network for partial domain fault diagnosis of machinery[J]. IEEE transactions on industrial informatics, 2021,17(3):1753-1762.
- [9] 田腾飞. 基于生成式对抗网络的图像特征表示及应用 [D]. 南京: 东南大学, 2018.
- [10] 陈文兵,管正雄,陈允杰.基于条件生成式对抗网络的数据增强方法[J]. 计算机应用,2018,38(11):3305-3311.
- [11] MIRZA M, OSINDERO S. Conditional generative adversarial nets[DB/OL].(2014-11-06)[2024-03-12]. https://doi.org/10.48550/arXiv.1411.1784.

【作者简介】

孙勇(1998—),男,江苏泰州人,硕士研究生,研究方向: 大数据审计、计算机视觉、深度学习。

(收稿日期: 2024-07-28)